

مطالعه تئوری و آزمایشگاهی جهش هیدرولیکی واگرا در مقاطع ذوزنقه‌ای شکل

محمد حسین امید و مهدی اسماعیلی ورکی^۱

چکیده

از جمله روش‌های کاهش هزینه احداث حوضچه‌های آرامش از نوع جهش هیدرولیکی، تغییر شکل مقطع و پلان حوضچه در جهت هم‌آهنگی با مقاطع بالادست و پایین‌دست، بدون استفاده از سازه‌های تبدیل می‌باشد. از طرفی، هرگونه تغییر در هندسه حوضچه، شرایط ایجاد جهش و خصوصیات هیدرولیکی آن را تحت تأثیر قرار می‌دهد. در پژوهش حاضر، تأثیر تغییرات توام شبیه جانبی و واگرایی دیواره‌های حوضچه آرامش بر وضعیت و مشخصات جهش هیدرولیکی مورد مطالعه قرار گرفته است. بدین منظور، با تعمیم مبانی تئوری جهش هیدرولیکی برای مقاطع ذوزنقه‌ای، روابط تئوری برای نسبت عمق ثانویه و افت نسبی انرژی استخراج و با انجام آزمایش‌هایی بر روی یک مدل حوضچه آرامش، که برای این منظور طراحی و ساخته شده بود، طول و سایر مشخصات جهش مورد ارزیابی قرار گرفت. آزمایش‌ها برای ۳ شبیه جانبی مختلف ($1/5:1$ ، $1:1$ و $0/5:1$) و ۴ زاویه واگرایی (3° ، 5° و 7° درجه)، به اضافه جهش مستقیم در مقطع مستطیلی، در دامنه وسیعی از اعداد فرود (از 3 تا 9) صورت گرفت.

نتایج به دست آمده از مقایسه‌های صورت گرفته بر روی پارامترهای مهم جهش نشان می‌دهد که کاهش شبیه جانبی در هر زاویه واگرایی موجب کاهش نسبت عمق ثانویه، افزایش طول جهش و افت انرژی در مقایسه با مقطع مستطیلی در همان زاویه واگرایی می‌شود. همچنین افزایش زاویه واگرایی موجب کاهش نسبت عمق ثانویه، کاهش طول جهش و افزایش افت نسبی انرژی در مقایسه با مقاطع مستطیلی و ذوزنقه‌ای مستقیم خواهد شد. میزان این تغییرات، با افزایش زاویه واگرایی، در مقطع مستطیلی افزایش و در مقاطع ذوزنقه‌ای برای نسبت عمق ثانویه و افت نسبی انرژی افزایش و برای طول جهش کاهش می‌باید.

واژه‌های کلیدی: جهش هیدرولیکی، حوضچه آرامش، جهش هیدرولیکی واگرا، حوضچه آرامش ذوزنقه‌ای

از فرسایش و حفاظت از تأسیسات پایین‌دست می‌باشد. یکی از متداول‌ترین سازه‌های مستهلك کننده انرژی، حوضچه‌های آرامش از نوع جهش هیدرولیکی می‌باشند، که در آنها با شکل‌گیری جهش هیدرولیکی و عبور جریان از رژیم فوق

ممولاً در انتهای سازه‌هایی مانند سرریز سدها، تندابها، آبشارها و دریچه‌ها، به دلیل سرعت زیاد جریان، نیاز به سازه‌ای برای استهلاک انرژی جریان و کاهش سرعت آن به منظور جلوگیری

۱. به ترتیب استادیار و دانشجوی دکتری آبیاری و آبادانی، دانشکده کشاورزی، دانشگاه تهران

نتایج به دست آمده در این تحقیق که برای کanal ذوزنقه‌ای با شبیجانبی ۱:۱ صورت گرفت، می‌توان به کاهش نسبت عمق ثانویه، افزایش طول جهش در مقایسه با جهش کلاسیک، نامتقارن بودن پیشانی جهش وجود گردابه‌های طولی در امتداد دیواره‌های جانبی حوضچه آرامش اشاره کرد. امید (۱)، خصوصیات و عملکرد جهش هیدرولیکی در حوضچه‌های آرامش ذوزنقه‌ای را به صورت تئوری و آزمایشگاهی مورد بررسی قرار داد. در این پژوهش، روابط تئوری برای نسبت عمق ثانویه و افت نسبی انرژی ارائه شده و با استفاده از نتایج حاصل از آزمایش‌هایی که بر روی یک مدل آزمایشگاهی با مقاطع مستطیلی و ذوزنقه‌ای با شبیه‌های جانبی مختلف و اعداد فرود ۲ تا ۹ انجام شد، پارامترهای مهم جهش، از جمله طول آن مورد بررسی قرار گرفت. نتایج این تحقیق نشان داد که کاهش شبیجانبی باعث افزایش افت نسبی انرژی، کاهش نسبت عمق ثانویه و افزایش طول نسبی جهش در مقایسه با جهش کلاسیک می‌شود.

کلوسیوس و احمد (۵)، خصوصیات جهش هیدرولیکی دایره‌ای را بررسی کردند. در این پژوهش با فرض تغییرات خطی بین عمق اولیه تا ثانویه جهش و به کارگیری اصول پیوستگی، انرژی و مومنتوم، روابطی برای نسبت عمق ثانویه و افت نسبی انرژی ارائه گردید. هم‌چنین، آزمایش‌هایی بر روی یک مدل آزمایشگاهی صورت گرفت که ضمن تأیید فرضیات انجام گرفته، این نتیجه به دست آمد که نسبت عمق ثانویه و طول جهش در این حالت در مقایسه با جهش در کanal مستطیلی کاهش یافته و افت انرژی افزایش می‌یابد. اربهابیراما و ابلا (۲)، خصوصیات جهش هیدرولیکی در کanal مستطیلی و اگرا را بررسی کردند. در این تحقیق با فرض شکل ربع بیضی برای نیم رخ جهش و به کارگیری اصول پیوستگی، انرژی و مومنتوم، روابطی برای نسبت عمق ثانویه و افت نسبی انرژی ارائه گردید. هم‌چنین با استفاده از نتایج به دست آمده از آزمایش‌هایی که در یک کanal آزمایشگاهی و اگرا با مقاطع مستطیلی و با زوایای وگرایی ۰ تا ۱۲ درجه انجام گرفت،

بحرانی به رژیم زیربحرانی، انرژی جریان مستهلك می‌شود. به دلیل گستردگی کاربرد حوضچه‌های آرامش با مقاطع مستطیلی، تحقیقات زیادی درمورد این گونه مقاطع صورت گرفته ولی در مورد انواع دیگر حوضچه‌ها که استفاده از آنها در بعضی از مواقع الزامی و یا مقررین به صرفه است، اطلاعات کمی موجود می‌باشد. حوضچه‌های آرامش و اگرا با مقاطع مستطیلی و ذوزنقه‌ای، دو نوع از حوضچه‌های آرامش می‌باشند که به دلیل عدم نیاز به استفاده از سازه تبدیل در ابتدا و انتهای آنها، در صورتی که از نظر نسبت عمق ثانویه، طول جهش و افت نسبی انرژی، قابل رقابت با حوضچه‌های کلاسیک (معمولی) باشند، جایگزین مناسبی برای این گونه حوضچه‌ها خواهد بود. در مورد حوضچه‌های آرامش مستقیم با مقاطع ذوزنقه‌ای و نیز حوضچه‌های آرامش و اگرا با مقاطع مستطیلی، تحقیقاتی صورت گرفته و نکات مورد نیاز در طراحی آنها ارائه گردیده است که به برخی از آنها در ادامه اشاره می‌شود.

پوزی و هسینگ (۹)، تأثیر شبیجانبی را بر طول جهش در حوضچه ذوزنقه‌ای بررسی کردند. در این پژوهش با استفاده از نتایج به دست آمده از آزمایش‌هایی که بر روی یک مدل آزمایشگاهی با شبیه‌های جانبی ۱:۵/۰ تا ۱:۲ صورت گرفت، مشخص شد که کاهش شبیجانبی باعث افزایش طول جهش نسبت به جهش کلاسیک می‌شود. دیکسین (۳)، رابطه‌ای تئوری برای نسبت عمق ثانویه در مقاطع ذوزنقه‌ای ارائه کرد. نتایج این پژوهش نشان داد که با کاهش شبیجانبی، نسبت عمق ثانویه در مقاطع ذوزنقه‌ای در مقاطع مستطیلی کاهش می‌یابد. ماسی (۷)، رابطه تئوری برای نسبت عمق ثانویه در مقاطع ذوزنقه‌ای ارائه کرد. او هم‌چنین نتایج کار خود را به صورت نموداری که با داشتن مقادیر دبی، عمق اولیه، عرض کف و شبیجانبی، می‌توان نسبت عمق ثانویه را برآورد کرد، ارائه نمود. وانوسچک و هگر (۱۰)، ضمن ارائه رابطه تئوری مبتنی بر اصول پیوستگی و مومنتوم برای نسبت عمق ثانویه در مقاطع ذوزنقه‌ای، خصوصیات جهش هیدرولیکی در این گونه مقاطع را به صورت آزمایشگاهی مورد بررسی قرار دادند. از مهم‌ترین

ثانویه برای جهش هیدرولیکی در کanal ذوزنقه‌ای واگرا استفاده شده است.

- سیال غیرقابل تراکم می‌باشد.
- نیروی وزن، مقاومت ناشی از هوا و و افت اصطکاکی ناشی از تنش برشی کف ناچیز است.
- خطوط جريان شعاعی می‌باشد.
- نیمرخ سطح آب در طول جهش به صورت ربعتی از بیضی می‌باشد.

با توجه به شکل ۱، نیروهای مؤثر بر حجم کترل انتخابی، عبارت‌اند از F_1 , F_2 , F_{ls} و F_{rs}

این نیروها را می‌توان به صورت زیر محاسبه کرد:

$$F_1 = \gamma \bar{y}_1 A_1 = \frac{1}{2} \gamma \left(b_1 y_1 + \frac{1}{3} z y_1^3 \right) \quad [1]$$

$$F_2 = \gamma \bar{y}_2 A_2 = \frac{1}{2} \gamma \left(b_2 y_2 + \frac{1}{3} z y_2^3 \right) \quad [2]$$

$$F_{rs} = F_{ls} = \frac{\gamma \bar{y} A}{\sin(\cot g - 1)} \quad [3]$$

در معادلات فوق، F_1 نیروی هیدرواستاتیک در بالادست جهش، F_2 نیروی هیدرواستاتیک در پایین دست جهش، F_{rs} نیروی هیدرواستاتیک جانبی در سمت راست، F_{ls} نیروی هیدرواستاتیک جانبی در سمت چپ، y_1 عمق اوپله جهش، y_2 عمق ثانویه، \bar{y} فاصله مرکز ثقل توده جهش تا سطح آب، A مساحت سطح زیر جهش، Z شب جانبی و γ وزن مخصوص سیال می‌باشد. برای محاسبه مرکز ثقل توده جهش جهت محاسبه نیروهای جانبی F_{rs} و F_{ls} با توجه به شکل ۲ و فرض بیضی بودن نیمرخ جهش داریم:

$$\bar{y} A = \bar{y}_1 A_1 + \bar{y}_2 A_2 \quad [4]$$

$$\bar{y}_1 A_1 = \frac{y_1}{2} \quad [5]$$

$$\left(\frac{x - L_j}{L_j} \right)^2 + \left(\frac{y_2 - y_1}{y_2 - y_1} \right)^2 = 1 \quad [6]$$

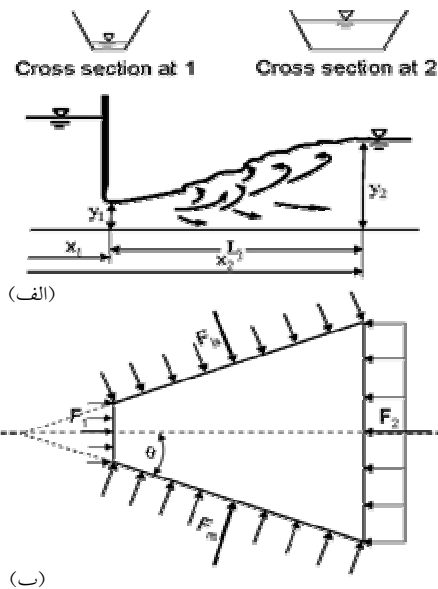
$$\begin{aligned} \bar{y}_2 A_2 &= \frac{1}{2} \int_{-1}^1 (f(x))^2 dx = \\ &\frac{1}{2} \int_{-1}^1 (y_2 - y_1)^2 \left(L_j - \left(\frac{x - L_j}{L_j} \right)^2 \right) dx \end{aligned}$$

صحت روابط تئوری ارزیابی شد. نتایج همچنین نشان داد که، واگرایی باعث کاهش نسبت عمق ثانویه، افزایش افت نسبی انرژی و کاهش طول جهش، در مقایسه با جهش کلاسیک می‌شود. خلیفه و کروکودل (۴)، خصوصیات جهش هیدرولیکی شعاعی را بررسی کردند. در این تحقیق با شعاعی در نظر گرفتن خطوط جريان شعاعی در دامنه درجه دوم برای نیمرخ سطح آب و با به کارگیری اصول پیوستگی، انرژی و مومنتوم، روابطی برای نسبت عمق ثانویه و افت نسبی انرژی در کanal مستطیلی واگرا ارائه گردید. همچنین با استفاده از نتایج حاصل از آزمایش‌هایی که بر روی یک کanal آزمایشگاهی مستطیلی واگرا انجام گرفت، مشخص گردید که واگرایی دیواره‌ها موجب کاهش طول جهش تا ۷۰٪ و افزایش افت انرژی تا ۱۵٪ نسبت به جهش کلاسیک شده و نسبت عمق ثانویه نیز برای اعداد فرود بزرگ‌تر از ۳ کاهش می‌یابد.

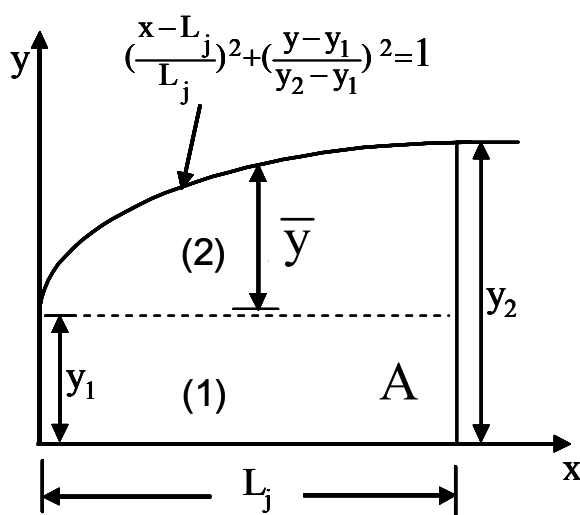
تأثیر توأم شب جانبی و واگرایی طولی دیواره‌ها بر خصوصیات جهش هیدرولیکی، تاکنون مورد مطالعه قرار نگرفته است. بنابراین، هدف از این پژوهش بررسی شرایط و خصوصیات جهش هیدرولیکی واگرا در مقاطع ذوزنقه‌ای که تلفیقی از دو حالت بررسی شده در تحقیقات فوق بود، می‌باشد.

تئوری جهش هیدرولیکی واگرا در مقاطع ذوزنقه‌ای

برای تحلیل و تعیین روابط مربوط به جهش هیدرولیکی کلاسیک در مقاطع مختلف، از اصول پیوستگی، انرژی و مومنتوم، با بکاربردن فرضیات ساده شونده مانند ناچیز در نظر گرفتن نیروهای وزن، اصطکاک و مقاومت ناشی از هوا، استفاده می‌شود. آنچه که روابط مربوط به جهش هیدرولیکی در مقاطع واگرا را با جهش کلاسیک متفاوت و پیچیده‌تر می‌سازد، وجود نیروهای جانبی در اثر واگرایی دیواره‌ها که خود تابعی از طول جهش است، می‌باشد. بنابراین، شناخت نیمرخ طولی سطح آب در جهش، برای محاسبه این جزء نیرو ضروری می‌باشد. در این پژوهش از فرضیات زیر به منظور استخراج رابطه نسبت عمق



شکل ۱. نمای کلی جهش هیدرولیکی در حوضچه ذوزنقه‌ای واگرا



شکل ۲. نیم رخ جهش با فرض بیضی بودن تغییرات عمق اولیه تا ثانویه

با جایگزین کردن معادله ۸ در معادله ۳ داریم :

$$F_{rs} = F_{ls} = \frac{\gamma L_j s \left[\frac{y_2}{3} + \dots + \frac{y_1^3}{118} y_1 y_2 \right]}{\sin(\cot g^{-1} z)} \quad [9]$$

مقدار خالص نیروی جانبی وارده بر حجم مشخص انتخابی برابر خواهد بود با:

$$F_{sx}(\text{Net}) = F_{ls} \sin \theta + F_{rs} \sin \theta = \gamma F_s \sin \theta \quad [10]$$

با جایگذاری معادله ۹ در معادله ۱۰ خواهیم داشت:

$$= \frac{1}{3} (y_2 - y_1)^2 \left[x L_j - \frac{(x - L_j)^3}{2 L_j^2} \right] = \frac{(y_2 - y_1)^2 L_j}{3} \quad [7]$$

در نهایت با قرار دادن معادلات ۵ و ۷ در معادله ۴ و انجام برخی عملیات جبری داریم :

$$\bar{y} A = L_j s \left[\frac{y_2}{3} + \dots + \frac{y_1^3}{118} y_1 y_2 \right] \quad [8]$$

در معادله ۸ \$L_j s = L_j / \cos \theta\$ می‌باشد.

در معادلات فوق E_L افت انرژی و R_L افت نسبی انرژی می‌باشد.

مواد و روش‌ها

تجهیزات آزمایشگاهی

به منظور بررسی شرایط و مشخصات جهش هیدرولیکی واگرا در مقاطع مستطیلی و ذوزنقه‌ای، یک مدل فیزیکی طراحی و ساخته شد. این مدل شامل یک مخزن آرام کننده با سرریز مستطیلی لبه تیز و مخزن ایجاد ارتفاع در بالادست، دریچه کشویی لبه تیز، یک کanal مستطیلی با کف و دیواره‌های شیشه‌ای به عرض ۵/۰ متر، عمق ۶/۰ متر و طول ۹ متر و یک مخزن اندازه‌گیری حجمی در پایین دست می‌باشد. طرح کلی دستگاه مورد استفاده در شکل ۳ نشان داده شده است. بخشی از کanal مدل به طول ۳ متر که بلافاصله بعد از دریچه مخزن قرار داشت، به گونه‌ای طراحی و ساخته شد که به عنوان حوضچه آرامش، امکان ایجاد هم‌زمان شبیه‌های جانبی مختلف و واگرایی با زوایای متفاوت در دامنه وسیعی فراهم بود. هم‌چنین، با استفاده از مخزن بالادست و دریچه کشویی، ایجاد جریان‌های ورودی به حوضچه آرامش با عمق و سرعت‌های مختلف برای به دست آوردن اعداد فرود اولیه تا ۹ امکان پذیر بود.

بر روی حوضچه آرامش و کanal انتهایی، یک سیستم ریلی نصب گردید تا امکان جابه‌جایی عمق سنج در طول آن به راحتی فراهم باشد. برای اندازه‌گیری عمق، از یک عمق سنج با دقت ۱/۰ میلی متر استفاده شد. برای ایجاد پایاب لازم، جهت تشکیل کامل جهش، از یک دریچه کشویی در انتهای حوضچه و نیز یک دریچه کشویی در انتهای کanal پایین دست استفاده گردید. دبی جریان با دو روش حجمی، با استفاده از مخزن واسنجی شده در پایین دست و سرریز مستطیلی بالادست اندازه‌گیری شد.

انجام آزمایش‌ها

برای انجام هر آزمایش، بعد از تنظیم شبیه جانبی و زاویه واگرایی موردنظر، ابتدا جریان ورودی به میزان مورد نظر برقرار

$$F_{sx(Net)} = \frac{2\gamma L_{js} \left[\frac{y_2}{3} + 0.48 y_1^2 + 0.118 y_1 y_2 \right]}{\sin(\cot g^{-1} z)} \sin \theta \quad [11]$$

در رابطه فوق θ زاویه محور جهش در امتداد X ‌ها و راستای خط مرکزی جریان که در شکل ۱(ب) نشان داده شده می‌باشد. اکنون با مشخص شدن اجزای نیروهای واردہ بر حجم مشخص انتخابی و جای گذاری آنها در معادله اندازه حرکت، خواهیم داشت:

$$\sum F_x = F_{tx} - F_{rx} + F_{sx(Net)} = \rho Q (V_2 - V_1)_x \quad [12]$$

با جایگزینی معادلات ۱، ۲ و ۱۱ در معادله ۱۲ خواهیم داشت:

$$\begin{aligned} & \left(b_1 y_1 + \frac{z}{3} z y_1^2 \right) \\ & + \frac{Q^2}{g A_1} + \frac{4 L_{js} \left(\frac{y_2}{3} + 0.48 y_1^2 + 0.118 y_1 y_2 \right) \sin \theta}{\sin(\cot g^{-1} z)} \quad [13] \\ & = \left(b_2 y_2 + \frac{z}{3} z y_2^2 \right) + \frac{Q^2}{g A_2} \end{aligned}$$

در نهایت با انجام برخی عملیات جبری، معادله عمومی برای نسبت عمق ثانویه در جهش هیدرولیکی واگرا به صورت زیر خواهد شد:

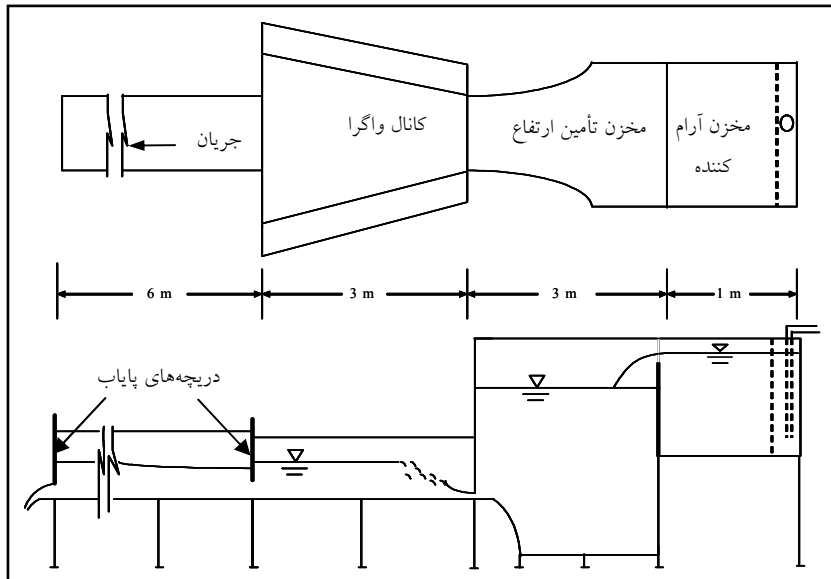
$$\frac{y_2}{y_1} = \left[F_{r1} \frac{D_1}{y_1} \left(1 - \frac{A_1}{A_2} \right) + K_1 \right] \frac{A_1}{A_2 K_2} + \frac{2 L_{js} \left(\frac{y_2}{3} + 0.48 y_1^2 + 0.118 y_1 y_2 \right) \sin \theta}{A_2 K_2 y_1 \sin(\cot g^{-1} z)} \quad [14]$$

در معادله ۱۴ پارامترهای ساده شده عبارت‌اند از، $D = \frac{b y + y' z}{b + 2 y z}$ ، $b' = b + y z$ ، $K = \frac{1}{3} + \frac{b}{6 b'}$ برای محاسبه افت انرژی در طول جهش می‌توان از معادله انرژی مخصوص کمک گرفت. با در نظر گرفتن شکل ۱ و نوشتن رابطه انرژی مخصوص برای مقاطع قبل و بعد از جهش، خواهیم داشت:

$$E_L = E_1 - E_2 = (y_1 + \frac{V_1^2}{2g}) - (y_2 + \frac{V_2^2}{2g}) \quad [15]$$

$$E_L = y_1 - y_2 + \frac{Fr_1^2 D_1}{2} \left[1 - \left(\frac{A_1}{A_2} \right)^2 \right] \quad [16]$$

$$R_L = \frac{y_1 - y_2 + \frac{Fr_1^2 D_1}{2} \left[1 - \left(\frac{A_1}{A_2} \right)^2 \right]}{y_1 + \frac{Fr_1^2 D_1}{2}} \quad [17]$$



شکل ۳. طرح کلی کanal آزمایشگاهی

از آنجایی که در این پژوهش به منظور محاسبه نیروی جانبی در طول جهش از معادله بیضی به عنوان معادله نیم رخ جهش استفاده شده است، بنابراین به منظور ارزیابی صحت این فرضیه، برای وضعیت‌های مختلف از شیب جانبی و زاویه واگرایی، منحنی تئوری نیم رخ جهش و داده‌های آزمایشگاهی مورد مقایسه قرار گرفت. به منظور مقایسه کلی نیم رخ‌های جهش با منحنی تئوری پیشنهادی، کلیه داده‌های آزمایشگاهی نیم رخ‌های جهش (در قرائت نیم رخ سطح آب، حداقل و حداکثر عمق جریان در هر فاصله از طول جهش قرائت و متوسط آن به عنوان عمق جریان در نظر گرفته شد) در کنار منحنی تئوری یادشده در شکل ۴ نشان داده شده است. همچنین به منظور ارزیابی سایر منحنی‌های تئوری پیشنهادی توسط سایر محققین، نیم رخ خطی جهش که توسط لاوسون و فیلیپس (۱۹۸۳) برای استخراج روابط تئوری جهش واگرای در نظر گرفته شده نیز در کنار منحنی تئوری پیشنهادی در این پژوهش و داده‌های آزمایشگاهی آورده شده است^(۶). در این شکل $W_k-Z_n-Fr_m$ معرف زاویه واگرایی، شیب جانبی و عدد فرود می‌باشد. همان‌گونه که دیده می‌شود، بین داده‌های آزمایشگاهی مربوط به نیم رخ‌های جهش و نیم رخ‌های تئوری مربوطه،

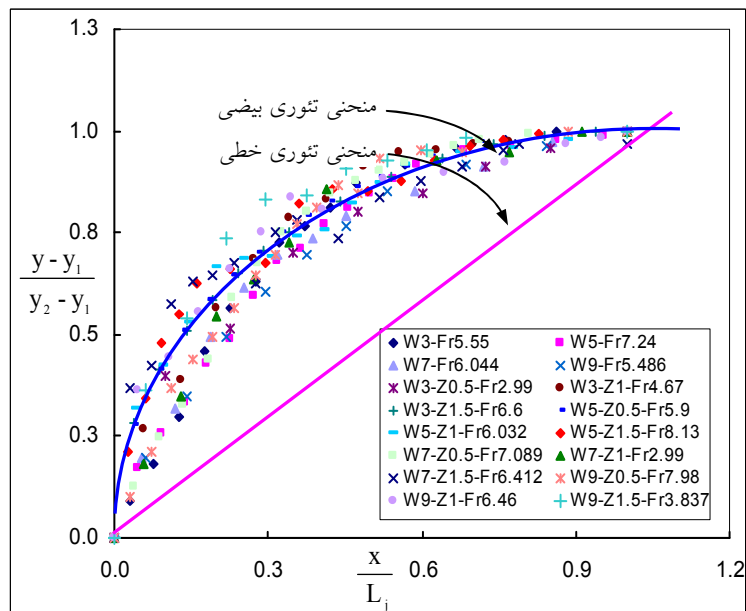
و بعد از ثبت ارتفاع آب در پشت سریز و دریچه مخزن، موقعیت جهش توسط دریچه‌های کشویی انتها به گونه‌ای تشییت می‌گردید که شروع جهش بلا فاصله پس از دریچه، در ابتدای حوضچه واگرای باشد. در تمام آزمایش‌ها، کف حوضچه افقی بوده و از آستانه انتهایی و بلوك استفاده نگردید. پس از پایدار شدن جهش، عمق جریان در امتداد جهش و طول جهش اندازه‌گیری شد. با توجه به این‌که معیارهای متفاوتی برای تعریف طول جهش وجود دارد، در این تحقیق طول جهش از شروع، تا جایی که غلطاب‌ها و نوسان‌های سطح آب در آن حداقل بوده و تغییرات عمق ناچیز می‌گردید، در نظر گرفته شد.

نتایج و بحث

برای بررسی تأثیر تقام زاویه واگرایی و شیب جانبی بر خصوصیات جهش هیدرولیکی، در مجموع ۱۱۴ آزمایش برای مقطع مستطیلی و مقاطع ذوزنقه‌ای با شیب‌های جانبی $0/5:1$ ، $1/5:1$ و $1/5:1$ و زوایای واگرایی $3, 5, 7$ و 9 درجه، در دامنه اعداد فرود ۳ تا ۹ انجام گرفت. دامنه قرائت‌های صورت گرفته برای مجموعه آزمایش‌های انجام شده در این پژوهش، در جدول ۱ آورده شده است

جدول ۱. دامنه قرائت‌های صورت گرفته برای پارامترهای اندازه‌گیری شده

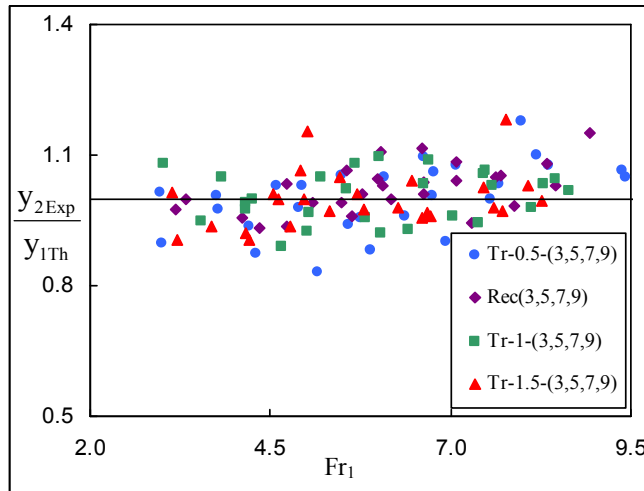
حداکثر	حداقل	واحد	پارامترهای قرائت شده
۲/۳	۱/۹	cm	y_1
۲۶/۱	۶/۹	cm	y_2
۹/۳۸	۲/۹۹	بدون بعد	Fr_1
۱۷۰	۱۵	cm	L_j
۴۴/۹	۱۵/۹	Lit/s	Q
۱/۵:۱	۰/۰:۱	بدون بعد	Z
۹	۲	درجه	θ



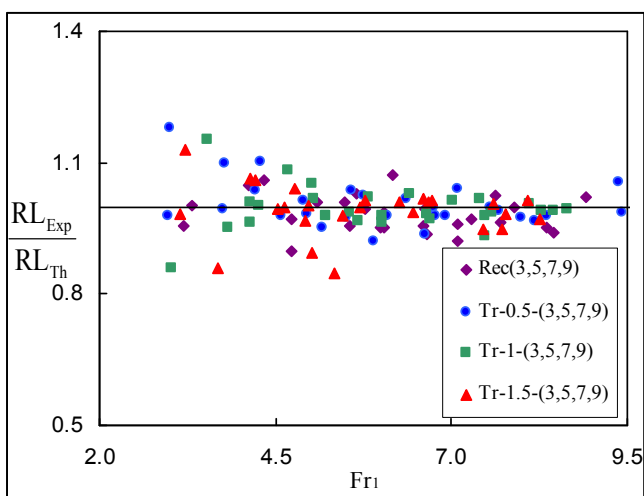
شکل ۴. مقایسه نیم رخ‌های تئوری و نتایج آزمایشگاهی جهش واگرا

شکل‌های ۵ و ۶ نشان داده شده است. در این شکل‌ها، $Tr - z - (\theta_i = ۳, ۵, ۷, ۹)$ معرف مقطع ذوزنقه‌ای با شیب جانبی z و زوایای واگرای ۳ تا ۹ درجه و $Rec(\theta_i = ۳, ۵, ۷, ۹)$ معرف مقطع مستطیلی با زوایای واگرایی ۳ تا ۹ درجه نشان داده شده است. در شکل‌های ۵ و ۶ دیده می‌شود که نسبت‌های عمق ثانویه و افت انرژی اندازه‌گیری شده به تئوری در محدوده ۰/۹ تا ۱/۱ قرار دارند.

مطابقت خوبی دیده می‌شود، به گونه‌ای که صحت فرضیه به کار رفته در مورد منحنی نیم رخ جهش را تأیید می‌کند. به منظور مقایسه و ارزیابی نتایج تئوری و آزمایشگاهی مربوط به نسبت عمق ثانویه و افت نسبی انرژی، مقادیر تئوری مربوط به پارامترهای فوق از روابط ۱۴ و ۱۷ محاسبه و تغییرات نسبت مقادیر آزمایشگاهی به تئوری آنها در مقابل اعداد فرود اولیه مربوطه برای کلیه داده‌های آزمایشگاهی و تئوری در



شکل ۵. مقایسه داده‌های تئوری و نتایج آزمایشگاهی نسبت عمق ثانویه



شکل ۶. مقایسه داده‌های تئوری و نتایج آزمایشگاهی افت نسبی انرژی

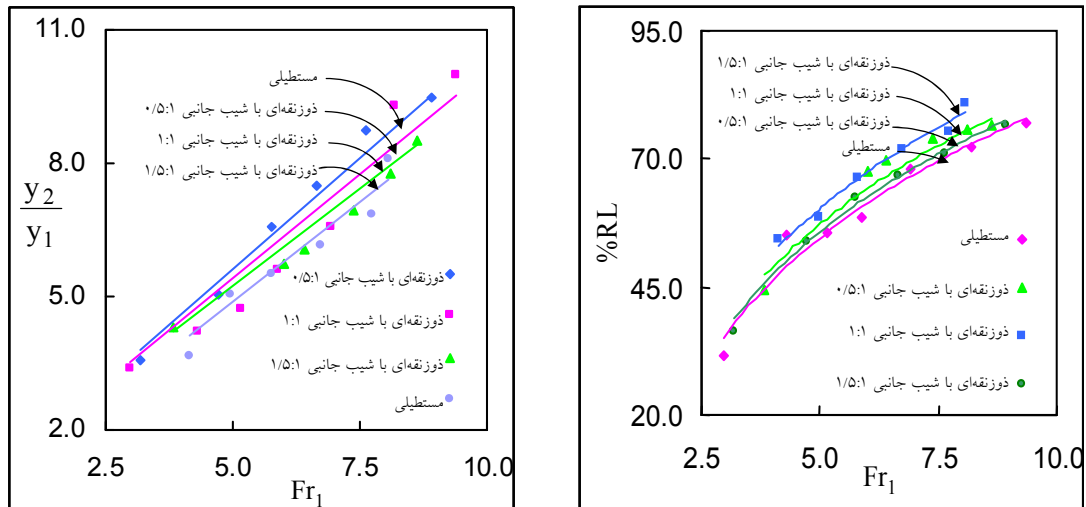
فوق در مقابل اعداد فرود اولیه (Fr_1) مورد بررسی قرار گرفته است. بررسی‌های انجام گرفته نشان می‌دهد که روند تغییرات پارامترهای یاد شده در هر زاویه واگرایی مشابه می‌باشد. یعنی با کاهش شبیه جانبی (افزایش Z)، طول نسبی جهش افزایش، نسبت عمق ثانویه کاهش و افت نسبی انرژی نیز افزایش می‌یابد. نمونه‌هایی از نمودارهای به دست آمده در این تقسیم‌بندی، در شکل‌های ۷ و ۸ آورده شده است. در شکل ۷ خطوط ممتد مربوط به معادلات تئوری و نقاط مربوط به داده‌ای آزمایشگاهی می‌باشند که با خطوط تئوری مطابقت خوبی دارند. در شکل ۸، تغییرات طول نسبی جهش در مقابل

که نشان دهنده مطابقت خوب بین مقادیر تئوری و آزمایشگاهی می‌باشد.

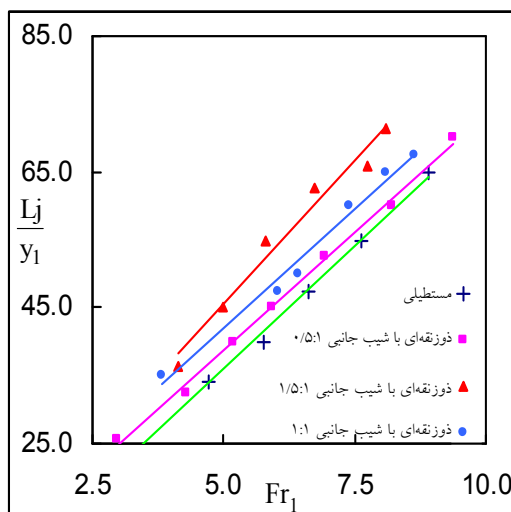
برای تشریح عملکرد جهش واگرا در مقاطع ذوزنقه‌ای و مقایسه آن با سایر انواع جهش، سه پارامتر مهم نسبت عمق ثانویه، طول نسبی جهش و افت نسبی انرژی را با توجه به تقسیم‌بندی زیر مورد ارزیابی قرار می‌دهیم.

تأثیر تغییر شبیه جانبی بر روند تغییرات نسبت عمق ثانویه، طول و افت نسبی انرژی جهش

در این تقسیم‌بندی، در هر زاویه واگرایی تغییرات پارامترهای



شکل ۷. تغییرات نسبت عمق ثانویه و افت نسبی انرژی جهش در زاویه واگرایی ۵ درجه

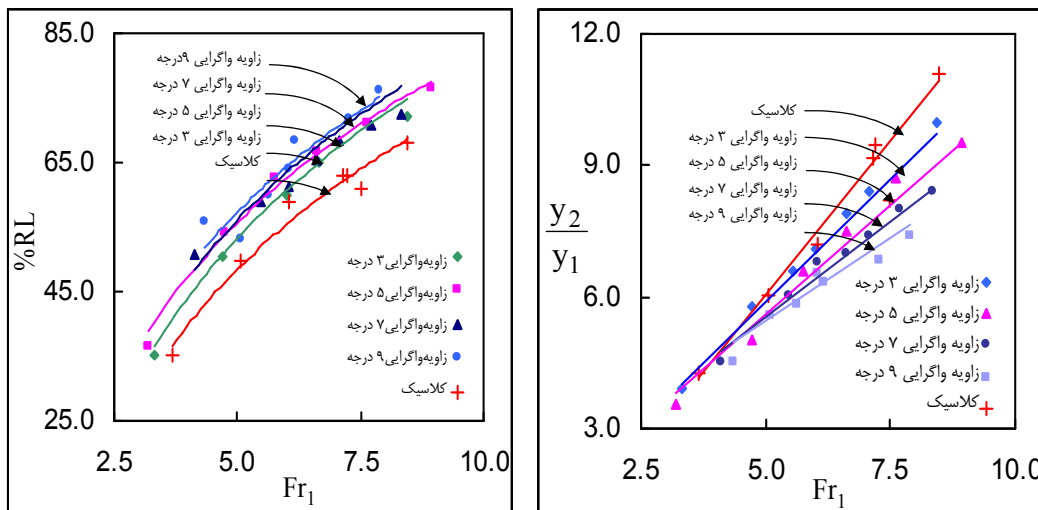


شکل ۸. تغییرات طول نسبی جهش برای مقاطع مستطیلی و ذوزنقه‌ای در زاویه واگرایی ۵ درجه

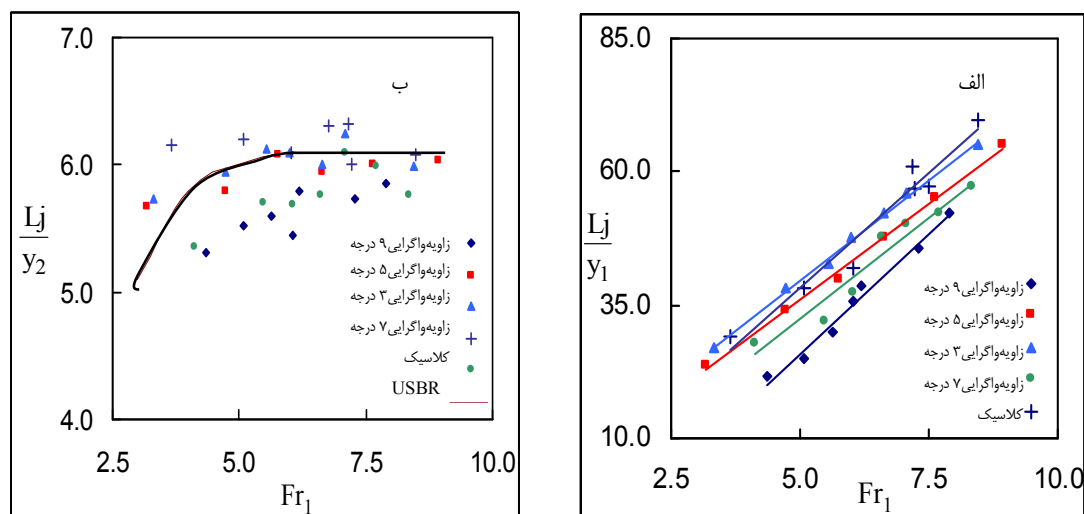
مستطیلی و ذوزنقه‌ای را می‌توان این گونه بیان کرد که در مقطع مستطیلی، افزایش زاویه واگرایی باعث کاهش نسبت عمق ثانویه، طول نسبی جهش و افزایش افت نسبی انرژی در مقایسه با جهش کلاسیک می‌گردد. نمودارهای مربوط به روند تغییرات پارامترهای فوق در مقابل اعداد فرود اولیه در شکل‌های ۹ و ۱۰ نشان داده شده است. در شکل ۹، خطوط ممتد مربوط به معادلات تئوری و نقاط، مربوط به داده‌های آزمایشگاهی می‌باشند که مطابقت خوبی را با خطوط تئوری نشان می‌دهند.

اعداد فرود اولیه برای مقاطع مستطیلی و ذوزنقه‌ای با شیب‌های جانبی مختلف در زاویه واگرایی ۵ درجه نشان داده شده است. در این شکل، خطوط از برآزش بهترین خط بر داده‌های آزمایشگاهی حاصل گردیده‌اند.

تأثیر زاویه واگرایی بر روند تغییرات نسبت عمق ثانویه، طول افت نسبی انرژی جهش هیدرولیکی در این تقسیم‌بندی، تأثیر واگرایی مشخصات جهش در مقاطع



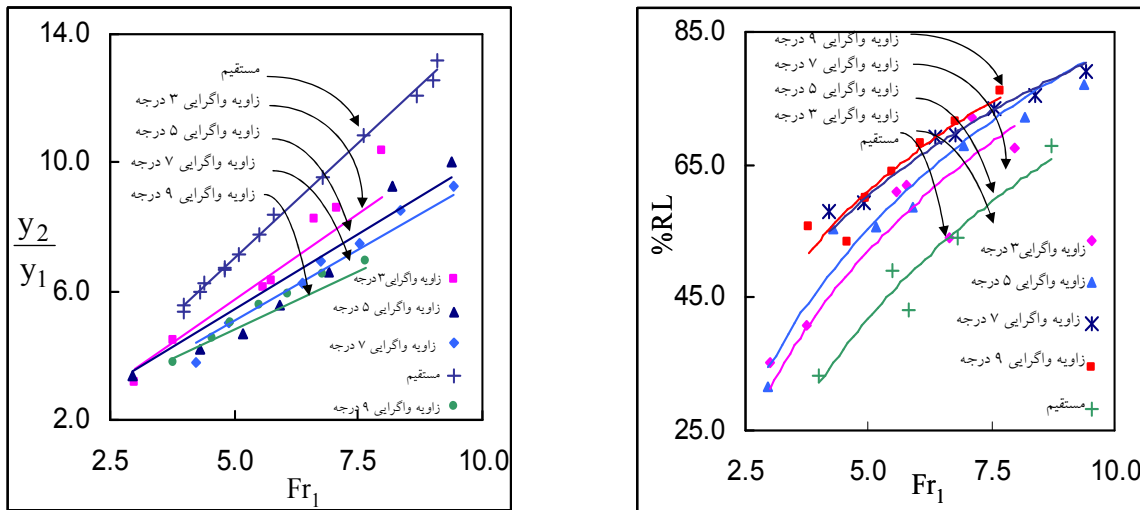
شکل ۹. تغییرات نسبت عمق ثانویه و افت نسبی انرژی جهش در مقطع مستطیلی با زوایه‌ها و اگرایی مختلف



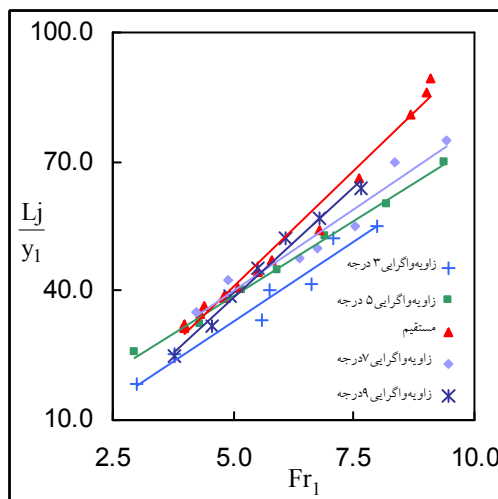
شکل ۱۰. تغییرات طول نسی جهش برای مقاطع مستطیلی با زوایه‌ها و اگرایی مختلف

عمق ثانویه، طول و افت نسبی انرژی در جهش برای هر شیب جانبی مشابه می‌باشد. در هر شیب جانبی، افزایش زاویه و اگرایی باعث کاهش نسبت عمق ثانویه، کاهش طول نسبی جهش و افزایش افت نسبی انرژی در مقایسه با مقطع ذوزنقه‌ای مستقیم می‌گردد. با توجه به مشاهدات صورت گرفته در آزمایش‌ها، می‌توان علت این عملکرد را این گونه بیان کرد که در مقاطع ذوزنقه‌ای، بخشی از سطح مقطع جریان به صورت دو

همان‌گونه که در این شکل‌ها دیده می‌شود، میزان این تغییرات با افزایش زاویه و اگرایی افزایش می‌یابد. خطوط ممتدا در شکل ۱۰ (الف) از برآذش بهترین خطوط بر داده‌های آزمایشگاهی حاصل گردیده‌اند. در شکل ۱۰ (ب)، نتایج آزمایشگاهی در کنار خط پیشنهادی USBR (۸) مربوط به $\frac{L_j}{y_2}$ نیز نشان داده شده است. در مقاطع ذوزنقه‌ای، تأثیر زاویه و اگرایی بر روند تغییرات نسبت



شکل ۱۱. تغییرات نسبت عمق ثانویه و افت نسبی انرژی جهش برای مقاطع ذوزنقه‌ای با شیب جانبی ۱:۵/۰



شکل ۱۲. تغییرات طول نسبی جهش برای مقاطع ذوزنقه‌ای با زوایای واگرایی مختلف در شیب جانبی ۱:۵/۰

افزایش طول آن می‌گردد. نمودارهای مربوط به روند تغییرات پارامترهای یادشده برای شیب جانبی ۱:۵/۰ در مقابل اعداد فرود اولیه در شکل‌های ۱۱ و ۱۲ نشان داده شده است. در شکل ۱۱ خطوط ممتد مربوط به معادلات تئوری و نقاط مربوط به داده‌های آزمایشگاهی می‌باشند که مطابقت خوبی را با خطوط تئوری نشان می‌دهند. خطوط ممتد در شکل ۱۲ از برازش بهترین خط بر داده‌های آزمایشگاهی حاصل شده‌اند.

مثلث قائم الزاویه در دو طرف مسیر جریان قرار گرفته و در مقابل جت ورودی آب قرار نمی‌گیرند. بنابراین همواره بخشنی از سطح مقطع جریان که می‌بایست به عنوان نیرویی در مقابل فرار جت آب عمل نماید، در حاشیه قرار گرفته و در این رابطه نقشی ایفا نمی‌کند. از طرفی با افزایش زاویه واگرایی، بر شدت گردابه‌های طولی که در امتداد دیواره‌ها ایجاد می‌شوند افزوده شده و موجب انتقال تلاطم و ناپایداری در جهش و کمک به

نتیجه‌گیری

۲. در کلیه آزمایش‌ها، بین مقادیر تئوری و نتایج آزمایشگاهی مربوط به نسبت عمق ثانویه و افت نسبی انرژی، همبستگی خوبی وجود دارد.
۳. در هر زاویه واگرایی، با کاهش شبیه جانبی، طول نسبی جهش افزایش، نسبت عمق ثانویه کاهش و افت نسبی انرژی نیز افزایش می‌یابد.
۴. در مقاطع مستطیلی، افزایش زاویه واگرایی دیوارهای حوضچه در مقایسه با مقطع جهش کلاسیک، باعث کاهش نسبت عمق ثانویه و طول نسبی جهش و افزایش افت نسبی انرژی می‌شود. این اختلاف با افزایش زاویه واگرایی دیوارهای افزایش می‌یابد، به طوری که در زاویه واگرایی ۹ درجه، نسبت عمق ثانویه و طول نسبی جهش به ترتیب $22/5$ و 30 درصد کاهش و افت نسبی انرژی $24/5$ درصد افزایش داشت.
۵. در مقاطع ذوزنقه‌ای، افزایش زاویه واگرایی دیوارهای حوضچه در هر شبیه جانبی، در مقایسه با مقطع ذوزنقه‌ای مستقیم، باعث کاهش نسبت عمق ثانویه و طول نسبی جهش و افزایش افت نسبی انرژی می‌شود. روند این تغییرات، با افزایش زاویه واگرایی برای نسبت عمق ثانویه و افت نسبی انرژی افزایش و برای طول نسبی جهش کاهش می‌یابد.
۶. واگرایی دیوارهای حوضچه آرامش در کلیه مقاطع، در ثبت موقعیت جهش و کاهش طول آن مؤثر می‌باشد.

در این پژوهش، تأثیر تغییرات توام زاویه واگرایی و شبیه‌های جانبی دیوارهای حوضچه آرامش، بر عملکرد و خصوصیات جهش هیدرولیکی، به طور نظری و عملی مورد مطالعه قرار گرفته است. بدین منظور، ابتدا معادلات تئوری مربوط به نسبت عمق ثانویه و افت نسبی انرژی در مقاطع ذوزنقه‌ای با بسط مبانی تئوری مربوط به جهش هیدرولیکی در مقاطع واگرا، استخراج گردیدند. سپس به منظور بررسی صحت فرضیات به کار گرفته شده در استخراج روابط تئوری و مطالعه عملی خصوصیات جهش هیدرولیکی واگرا در مقاطع مختلف، آزمایش‌هایی بر روی یک مدل آزمایشگاهی که برای همین منظور طراحی و ساخته شده بود، انجام گردید. با بررسی مشخصات جهش هیدرولیکی شامل: نسبت عمق ثانویه، افت نسبی انرژی، طول نسبی و نیم‌رخ طولی جهش و مقایسه نتایج مربوط به زوایای واگرایی و مقاطع مختلف، مشخص شد که حوضچه‌های آرامش واگرا علاوه بر مزیت عدم نیاز به سازه تبدیل در ابتدا و انتهای، از نظر مشخصات و عملکرد جهش نیز به دلیل کاهش نسبت عمق ثانویه، کاهش طول نسبی و افزایش افت انرژی، وضع مطلوب تری نسبت به جهش در حوضچه‌های کلاسیک داشته و می‌توانند گزینه خوبی برای جایگزینی حوضچه‌های معمولی باشند. علاوه بر نتیجه‌گیری کلی فوق، نتایج زیر نیز از پژوهش حاضر به دست آمده است:

۱. مطابقت خوبی بین نتایج آزمایشگاهی نیم‌رخ‌های طولی جهش و منحنی‌های تئوری دیده شد که صحت فرضیه پیشنهادی در استفاده از معادله بیضی برای نیم‌رخ طولی در معادله تئوری جهش را تأیید می‌کند.

منابع مورد استفاده

۱. امید، م. ح. ۱۳۷۶. جهش هیدرولیکی در مقاطع ذوزنقه‌ای. مجله علوم کشاورزی ایران ۲۸ (۳): ۱۱۳-۱۲۱.
2. Arabhabhirama, A. and A. Abela. 1971. Hydraulic jump within gradually expanding channel. J. Hydraul. Div. ASCE 97 (1): 31-42.
3. Ead, S. A. and N. Rajaratnam. 2002. Hydraulic jumps on corrugated beds. J. Hydraul. Eng 128(7): 656-663.
4. Khilfa, A. M. and A. M. McCorquodale. 1979. Radial hydraulic jump. J. hydraul. Div. ASCE 105(9): 1065-1078.
5. Kouluseus, H. j. and D. Ahmad. 1961. Circular hydraulic jump. J. Hydraul. Div. ASCE 95(1): 409-422.
6. Lawson, J. D. and B. C. Phillips. 1983. Circular hydraulic jump. J. Hydraul. Eng. 109(4): 505-518.

-
7. Massey, B. S. 1966. Hydraulic jump in trapezoidal channel an improved method. Water Power 13: 232.
 8. Peterka, A. J. 1983. Hydraulic design of stilling basin and energy dissipaters. Engineering monograph. No. 25, U. S. bureau of reclamation.
 9. Posey, C. J. and P. S. Hsing. 1938. Hydraulic jump in trapezoidal channel. Eng. News – Record. p. 797 .
 10. Wanoschek, R. and W. H. Hager. 1989. Hydraulic jump in trapezoidal channel. J. Hydraul. Res. 27(3): 429-445.